

Surfaces hyperboliques aléatoires

Cours n° 6

Nalini Anantharaman

18/12/2024



n fixé, $g \rightarrow \infty$

$$V_{g,n}(l_1, \dots, l_n) = \sum_{|d| \leq 3g-3+n} c_{g,n}(d) \prod_i \frac{1}{(2d_i+1)!} \left(\frac{l_i^2}{2}\right)^{d_i}$$

$$c_{g,n}(d) \leq c_{g,n}(0) = V_{g,n}$$

$$l_1 \dots l_n V_{g,n}(l_1, \dots, l_n) \leq V_{g,n} \prod_i \exp\left(\frac{l_i^2}{2}\right) \\ \leq V_{g,n} e^{\sum l_i^2/2}$$

d fixé $\frac{c_{g,n}(d)}{V_{g,n}} = 1 + d.a.\left(\frac{1}{g}\right)$

$$4\pi^2 (2g-2n) \frac{V_{g,n}}{V_{g,n+1}} = 1 + d.a.$$

$$\frac{V_{g,n}}{V_{g-1,n+2}} = 1 + d.a.$$

n_1, \dots, n_g donnés

$$\sum_{g_1 \dots g_g} V_{g_1, n_1} \dots V_{g_g, n_g} \leq C \left(\frac{C}{r}\right)^{g-1} W_r$$

$\searrow = V_{r/2+1, 0}$, r pair
 $= V_{r/2+1, 1}$, r impair

$\sum_i 2g_i - 2 + n_i = r$
 $\sum_i 2g_i - 2 + n_i \geq 1$

Dirz-Zograf

$$V_{g,n} = C \frac{(2g-3+n)! (4n^2)^{2g-3+n}}{\sqrt{g}}$$

$$(1 + \underbrace{d.a.}_{\text{unif. si } n=O(\sqrt{g})})$$

$$X = 2g-2+n.$$

$$= X^X \times O(e^{cX})$$

A-Terk: dépendance en d des $c_{g,n}(d)$

$$m \in \mathbb{N}^n \quad |m| = 2N-1; \quad \delta^m \underbrace{c_{g,n}(d)}_{f: d \rightarrow (d_1, \dots, d_n)} \leq C_{n,N} \|d\|^N \frac{V_{g,n}}{g^N}, \quad \begin{matrix} d_i \in \mathbb{N} \\ m_i \neq 0 \Rightarrow d_i \geq a_N \\ \# \mathbb{N} \\ 2^N \end{matrix}$$

déviée discrète

$$\delta_i: f(d_1, \dots, d_n) = f(d_1, \dots, d_i+1, \dots, d_n) - f(d_1, \dots, d_i, \dots, d_n)$$

Conséquence: $c_{g,n}(d)$ dépend presque polynomialement de d .
(d'est Taylor)

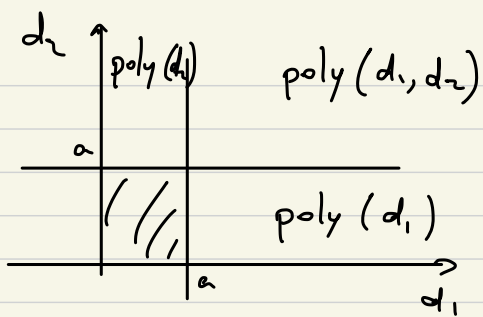
$$c_{g,n}(d) = \underbrace{\tilde{c}_{g,n}^{(2N)}(d)}_{\in \mathcal{P}_{n, 2N, a_N}} + O\left(\|d\| \frac{V_{g,n}}{g^{N+1}}\right)$$

$\in \mathcal{P}_{n, 2N, a_N}$ f est polyn. à partir d'un certain rang

$$\mathcal{P}_{n, K, a} = \text{e.v. engendré par } \left\{ \prod_i d_i^{k_i} \mathbb{1}_{\|d\| \geq a} \quad \prod_i \mathbb{1}_{\{d_i = \beta_i\}} \right\}$$

$\# \text{var } d \rightarrow \text{rang}$

$$\sum k_i \leq K \quad \|\beta_i\| < a$$



$a_N = 2^N$ pas optimal.

$\geq 0 \leftarrow$

Les coeffs de $\hat{c}_{g_n}(d)$ sont des combinaisons linéaires des condit^o initiales $c_{g_n}(\beta)$ pour $\|\beta\|_\infty \leq a_N + 2N$.

\Rightarrow info sur $V_{g_n}(\vec{l})$.

$$\frac{\prod_i \rho_i V_{g_n}(\vec{l})}{V_{g,n}} = F_{g_n}^{(N)}(\vec{l}) + O_{N,n} \left(\frac{\|\rho\|^{3N+1} e^{\sum \rho_i/2}}{g^{N+1}} \right), \text{ avec}$$

$$F_{g_n}^{(N)}(\vec{l}) = \text{comb lin. } \underbrace{\prod_{i \in I_0} \rho_i^{k_i}}_{\text{condit de parit}} \underbrace{\prod_{i \in I_+} \rho_i^{k_i} \cosh\left(\frac{\rho_i}{2}\right)}_{k_i \text{ impairs}} \underbrace{\prod_{i \in I_-} \rho_i^{k_i} \sinh\left(\frac{\rho_i}{2}\right)}_{k_i \text{ pairs}}$$

condit de parit

$$\sum_{i \in I_+ \cup I_-} k_i \leq 2N \text{ (sembl optimal)}, \quad i \in I_0 \Rightarrow k_i \leq a_{N+1} \sim 2^{N+1}$$

Les coeffs^(*) sont des comb lin. des $\frac{C_{g^n}(\vec{\beta})}{V_{g^n}}$, $|\beta|_\infty \leq a_N + 2N$.

MZ: dépendance p/r g

AM: - p/r \vec{l} .

Corollaire

$$\frac{\prod_i V_{g^n}(\vec{l}^i)}{V_{g^n}} = \sum_{k=0}^N \frac{F_{n,k}(\vec{l}_1, \dots, \vec{l}_n)}{g^k} + O\left(\frac{e^{\sum l_i/2}}{g^{N+1}}\right)$$

$F_{n,k}(\vec{l}^i)$ est comb. lin. de (*), $\sum_{k_i} \leq 2k$.

R que! unif. en \vec{l} t- g $\|\vec{l}\| \leq g^{1/3} \approx \text{probable } 1/2$.

(On aura besoin de longueurs $l = O(\log g)$ pour le trou spectral.)

tous les termes sont $e^{\sum l_i/2}$

II.P: $k=0$, $F_{n,0}(\vec{l}^i) = 2^n \prod_i \sinh\left(\frac{l_i}{2}\right)$

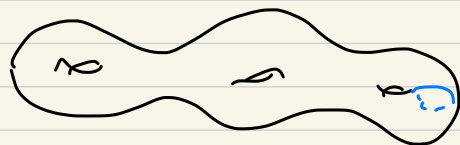
2) Géométrie asymptotique

• \mathbb{E}_g^{WP} (# géod fermiers simples non séparantes, de longueurs $\in [a, b]$)

$$= \frac{1}{V_g} \int V_{g-1,2}(l, l) \mathbb{1}_{[a,b]}(l) l dl$$

$$\frac{l^2 V_{g-1,2}(l, l)}{V_{g-1,2}} \cdot \frac{V_{g-1,2}}{V_g} \xrightarrow{g \rightarrow \infty} 4 \operatorname{sh}^2\left(\frac{l}{2}\right)$$

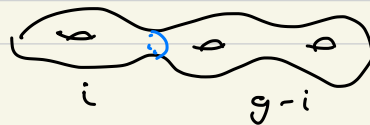
$$\Rightarrow \lim_{g \rightarrow \infty} \mathbb{E}_g^{[a,b]} = 4 \int_a^b \operatorname{sh}^2\left(\frac{l}{2}\right) \frac{1}{l} dl$$



• \mathbb{E}_g^{WP} [géod simples séparantes orientées de longueurs dans $[a, b]$]

$$= \frac{1}{V_g} \sum_{\substack{i=1 \\ i \neq g-i}}^{g-1} \int_a^b V_{g-i,i}(l) V_{i,i}(l) l dl$$

↳ chaque terme = orbite par MCG
 $i \neq g-i$ cf. orientation de l'orbite



$$\leq \frac{1}{V_g} \sum_{i=1}^{g/2} V_{g-i,1} V_{i,1} \int_a^b \frac{sh^2 \ell/2}{\ell} d\ell$$

$$= \underbrace{O\left(\frac{1}{g}\right)}_{\substack{\text{if } a=0 \\ b \uparrow}} \int_a^b \frac{sh^2 \ell/2}{\ell} d\ell \rightarrow \cup \text{ si } a, b \text{ fixes}$$

Si $a=0$
 $b \uparrow$

En fait $\frac{1}{V_g} \sum_{i=1}^{g/2} V_{g-i,i}^{(\ell)} V_{i,1}^{(\ell)} = \frac{1}{V_g} \underbrace{V_{g-1,1}(\ell)}_{\text{domine}} \underbrace{V_{1,1}(\ell)}_{\text{poly}(\ell)} + \sum_{i=2}^{g/2} \dots$

$$\leq \sum_2^{g/2} V_{g-i,1} V_{i,1} e^{\ell/2} \frac{\ell^p}{V_g}$$

$$= O\left(\frac{1}{g^2}\right)$$

$$\Rightarrow \mathbb{E}[\# \text{ simples } \leq \ell, \ell \leq b] \leq \frac{V_{g-1,1} V_{1,1}^2 b^{1/2}}{V_g} + O\left(\frac{e^b}{g^2}\right)$$

$$\frac{V_{g-1,1}}{V_g} = O\left(\frac{1}{g}\right)$$

$$\Rightarrow \mathbb{E}[\] \leq \frac{b^2 e^{b/2}}{g} + O\left(\frac{e^b}{g^2}\right)$$

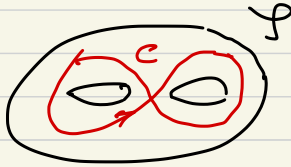
$\rightarrow O$ unif^t si $b = c \log g$, $c < 2$.

3) Géodésiques non simples

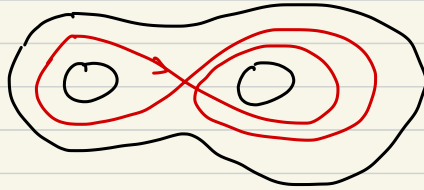
Def \mathcal{S} surface orientée à bord, C courbe fermée orientée dans \mathcal{S} .

C remplit \mathcal{S} si $\mathcal{S} \setminus C$ est topol. une union de disques et de cylindres périphériques (partagent un bord avec \mathcal{S}).

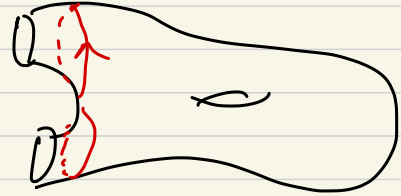
Ex:



OK



OK



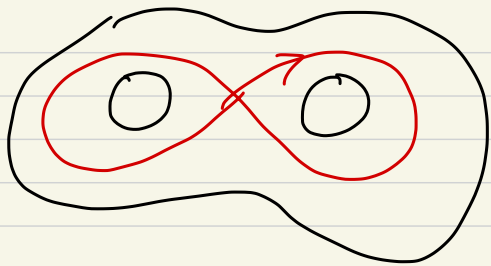
NON

Def (\mathcal{S}, c) , (\mathcal{S}', c') c, c' remplissantes orientées, "en positi^{ve} minimale"

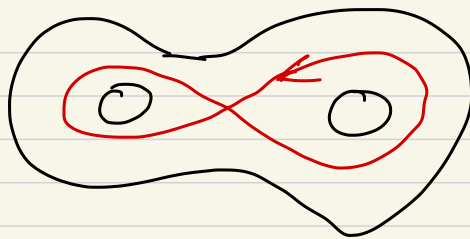
sont \equiv si $\exists \psi$ homéo $\mathcal{S} \rightarrow \mathcal{S}'$ préserve orientati^{on}, et

$\psi(c)$ homotope à c' , avec orientati^{on} préservée.

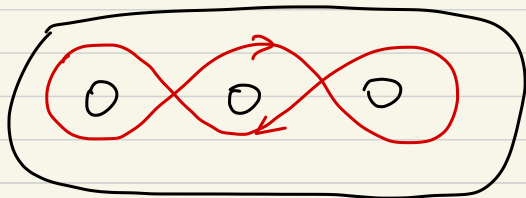
(on ne numérote pas les comp de bord)



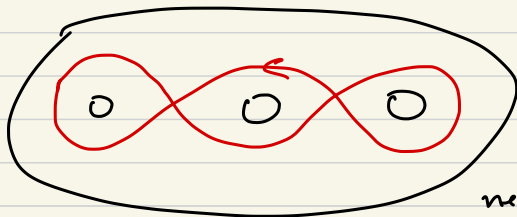
\equiv



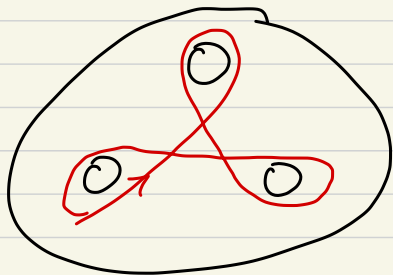
par
rotation
de π



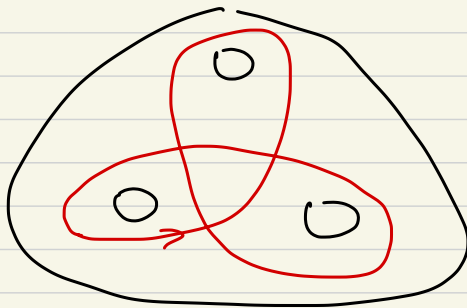
\neq



(le flip
ne préserve
pas l'orienta-)

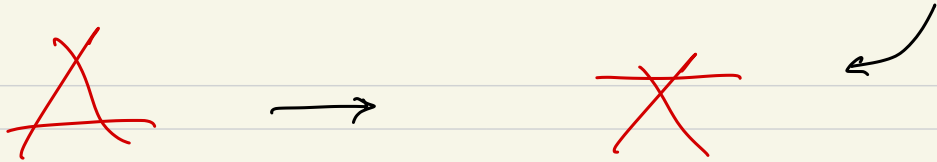


\equiv



Thm Graaf-Schreiber

Si c, c' en posés minimale sur S . c homot. à $c' \Leftrightarrow \exists$ isotopie globale de S qui envoie c sur c' , c diffère de c' par mouvements Reidemeister de type 3:



Def. Types topologiques locaux = classes d' \sim

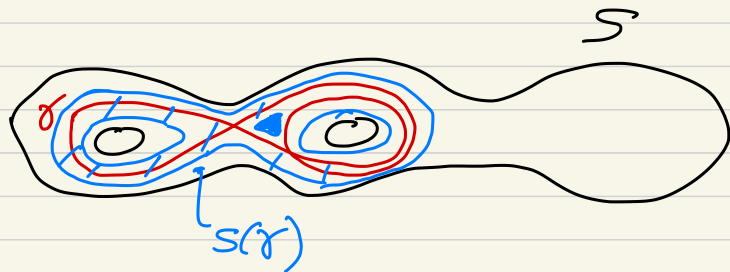
S surface, γ courbe fermée sur S .

$S(\gamma)$ = "surface remplie par γ ".

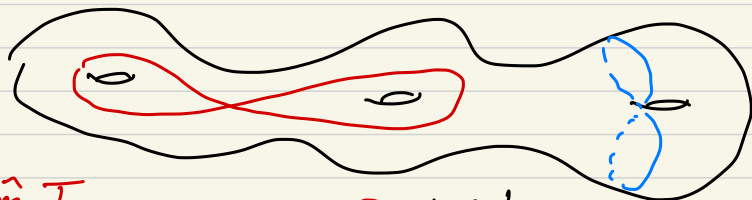
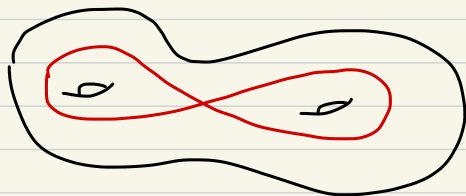
$B(\gamma, \epsilon)$ ϵ -voisinage de γ

\cup comp. conn. de $S \setminus B(\gamma, \epsilon)$
qui st des disques.

γ a le type topol. local T si $(S(\gamma), \gamma) \in T$.



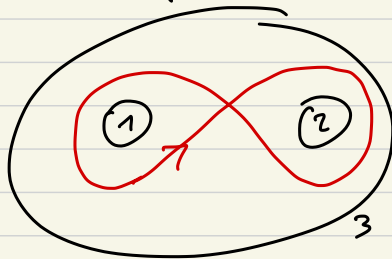
Ex:



∞ sont ds m \hat{e} T

∞ ds m \hat{e} type que ∞

T type topol. local
 But: E_g (# geod orientés de type T , de longueur $\in [a, b]$)
 On fixe un repère $(\mathcal{Y}^T, c^T) = (\mathcal{Y}, c)$ de type T .



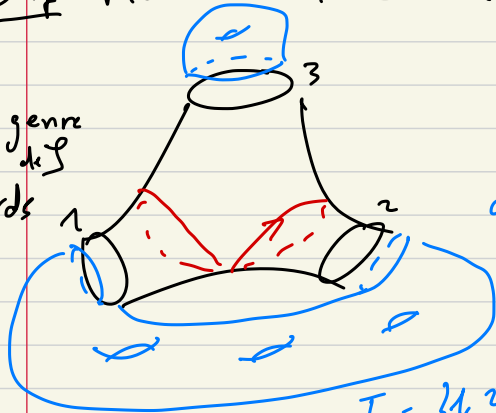
combien des ∞ qui ne sont pas dans la m orbite par le MCG.

Déf Réalisation de \mathcal{Y} dans 1 surface S_g de genre g :

donnée d'un entier $q \geq 1 = \#$ comp. connexes du compl.

$g_{\mathcal{Y}} =$ genre de \mathcal{Y}

$n_{\mathcal{Y}} = \#$ bords



$q = 2$

• une partition (I_1, \dots, I_q) de $(1, \dots, n_{\mathcal{Y}})$

• $\vec{g} = (g_1, \dots, g_q)$ genre des morceaux

$2g_i - 2 + n_i \geq 0$ (on ne peut pas recoller des disques)

$n_i = \# I_i$ cylindres OK.

$I_1 = \{1, 2\}$ $g_1 = 3$
 $I_2 = \{3\}$ $g_2 = 1$

On veut S_g de genre g . $|X|(g_i, n_i) = 2q_i - 2 + n_i$

$$\Rightarrow \sum_i |X|(g_i, n_i) + |X|(g_y, n_y) = 2g - 2.$$

\Rightarrow sert à énumérer les orbites du $\text{MCB}^+(S_g)$ sur les surfaces $\sum c S_g$ homéom. à \mathcal{S} , à bords numérotés.

Thème

\mathbb{E}_g (# good surfaces orientées de type T de longueur $\in [a, b]$)

$$= \frac{1}{m(T)} \sum_{R \rightarrow (\vec{I}, \vec{J})} \int_{\vec{L} = (l_1, \dots, l_g)} \prod_{i=1}^g V_{g_i, n_i}(\vec{l}_{I_i}) \prod l_i dl_i \quad \leftarrow \begin{array}{l} \text{parties} \\ \text{extérieures} \end{array}$$

$$\left(\sum_{\gamma \in \text{Orb}(C)} \frac{1}{[ab]} (\ell(\gamma)) \right) d\mu_{\mathcal{S}, \vec{L}}(y) \quad \leftarrow \begin{array}{l} \text{partie} \\ \text{interne} \\ (\mathcal{S}) \end{array}$$

$y \in \mathcal{M}_{\vec{L}}(\mathcal{S})$

$m(T) = \# \{ \text{permutations de } \mathcal{S} \text{ induites par difféos de } \mathcal{S} \text{ qui préservent } C \}$
 ex: $m(T) = 2:2$ dessins du  \equiv  $= \text{rot}_{\pi} \left(\img alt="Diagram of a figure-eight graph with two loops labeled 2 and 1, representing a permutation of the loops." data-bbox="835 935 915 995"/> \right)$

Rq: la partie sur $\mathcal{M}_{\vec{g}}(\mathcal{Y}) = \frac{1}{M(T)} \int_{[ab]} (\ell(c)) d\mu(y)$
 par relèvement $\mathcal{M} \rightarrow \mathcal{T}$. $y \in \mathcal{T}_{\vec{g}}(\mathcal{Y})$

$M(T) = \#$ pts de $MCG^+(\mathcal{Y})$ qui envoient c sur une courbe qui lui est homotope

On a besoin du fait que c remplit \mathcal{Y} pour que
 $\int \mathbb{1}_{[ab]}(\ell_y(c)) d\mu(y)$ soit fini.

Intégrale de type I: $\int \mathbb{1}_{[ab]}(\ell) \underbrace{V_g^T(\ell)}_{\substack{\text{fcz continue} \\ (\text{densité})}} d\ell$: la mesure image par f fcz anal. a 1 densité.

Def $V_g^T =$ fonction volume assoc. au type topol. local T .

fonc. analytique: $(\vec{\ell}, y) \mapsto \ell_y(c)$
 $\mathcal{T}_{\vec{g}}(\mathcal{Y})$

claim: $I = O\left(\frac{e^{cb}}{q^{|\mathcal{S}|}}\right)$

b fixe $\Rightarrow \mathbb{E}(\# \text{ geod. type } T, \text{ longueur } \leq b) \rightarrow 0$ si T non simple
 $= O\left(\frac{1}{q^{2q_S - 2 + n_S}}\right)$.